Visibilité : Privée

AiryLab. 34 rue Jean Baptiste Malon, 04800 Gréoux les Bains

Rapport de mesure

| Référence | 2016-29001 |
|---------------------|------------|
| Date | 11/07/2016 |
| Opérateur | FJ |
| Procédure de mesure | SC-DP |
| Haso | HA-4333 |
| LIP | LI-1028 |
| Objectif(s) | MOD32-10 |
| Miroir | RS-530 |

| Client | xxx |
|----------------|--------------------|
| Type d'optique | Schmidt Cassegrain |
| Fabricant | Celestron |
| Nom/modèle | C11 |
| S/N | XXX |

| Longueur d'onde |
|-----------------|
| 473 |
| 543 |
| 635 |
| 805 |

| Termes d'aberration pris en compte dans les résultats | |
|---|--|
| Tilt X | |
| Tilt Y | |
| Focus | |
| Astig 0° | |
| Astig 45° | |
| Coma 0° | |
| Coma 90° | |
| Sphérique | |

| Incertitude PTV | 5,96nm |
|------------------------|---------------|
| Incertitude RMS | 0,56nm |
| Interpolation | X2 |
| Mode | Zonal + modal |
| référence | Oui |
| Mesures moyennées | 200 |
| Double passage | Oui |
| température | 29° |
| Sous pupilles | - |
| Conjugaison de pupille | Oui |

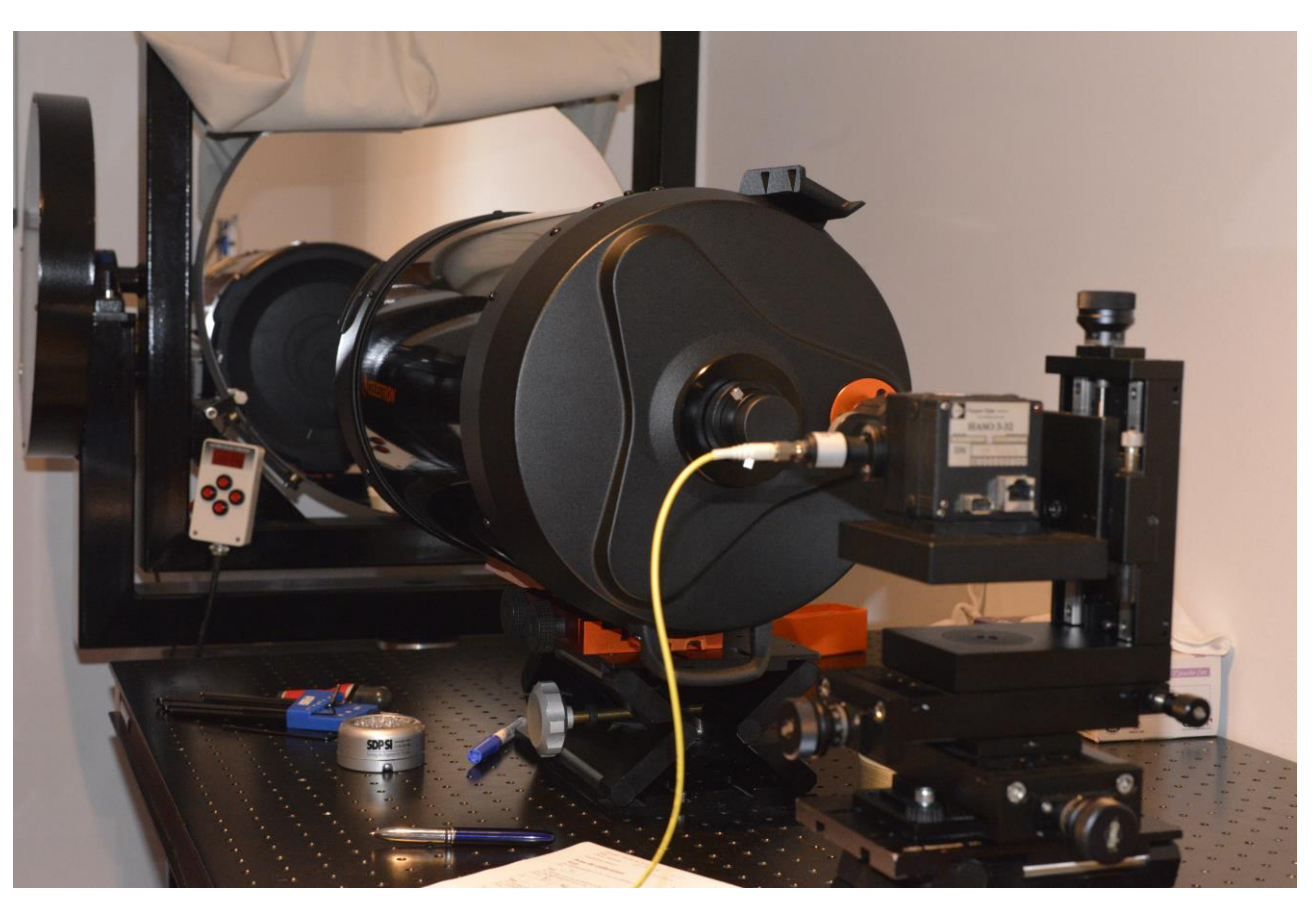
| Essais réalisés | |
|--------------------------------------|---------|
| Centrage sur l'axe ⁽¹⁾ | RA |
| Mesure sur l'axe | Oui |
| Mesure chromatisme | Oui |
| Mesure sur mécanique | Oui |
| Alignement optique (« collimation ») | Oui |
| Mesure dans le champ | Non |
| Courbure de champ | Non |
| Système correcteur | Non |
| Conjugaison | ∞ Foyer |

^{(1):} RR rétroréflexion laser HENE, RA réduction des aberrations de champ.

Sommaire

| 1 | Donne | ees tneoriques | |
|---|-------|---|----|
| 2 | Mesur | es sur l'axe après alignement du secondaire | 4 |
| 2 | 2.1 M | lesure sur l'axe à 635nm | 4 |
| | 2.1.1 | Front d'onde lame orientation d'origine | 4 |
| | 2.1.2 | Front d'onde lame orientation 45° | 4 |
| | 2.1.3 | Front d'onde lame orientation 90° | 5 |
| | 2.1.4 | Front d'onde | 6 |
| | 2.1.5 | PSF | 7 |
| | 2.1.6 | MTF | 7 |
| | 2.1.7 | Décomposition de Zernike | 8 |
| 2 | 2.2 M | lesure sur l'axe à 543nm | g |
| | 2.2.1 | Front d'onde | g |
| | 2.2.2 | PSF | 10 |
| | 2.2.3 | MTF | 10 |
| | 2.2.4 | Décomposition de Zernike | 11 |
| 2 | 2.3 M | lesure sur l'axe à 473nm | 12 |
| | 2.3.1 | Front d'onde | 12 |
| | 2.3.2 | Front d'onde au meilleur foyer | 12 |
| | 2.3.3 | PSF | 13 |
| | 2.3.4 | MTF | 13 |
| | 2.3.5 | Décomposition de Zernike | 14 |
| 2 | 2.4 C | hromatisme | 15 |
| | 2.4.1 | Décalage des meilleurs foci sur l'axe | 15 |
| | 2.4.2 | Sphérochromatisme à F10 | 15 |
| | 2.4.3 | Centrage du sphérochromatisme | 16 |

Visibilité : Privée



1 Données théoriques

Focale: 2800mm. Pupille: 280mm.

Nombre d'ouverture : 10

Diamètre théorique de la tâche de diffraction :

| Focale | 2800 |
|-----------------|---------------|
| Diamètre | 280 |
| Longueur d'onde | Taille PSF μm |
| 635 | 15,49 |
| 543 | 13,25 |
| 473 | 11,54 |

Fréquences théoriques de coupure de la fonction de transfert de modulation (MTF) en cycles/mm

| Focale | 2800 |
|-----------------|---------|
| Diamètre | 280 |
| Longueur d'onde | Coupure |
| 635 | 157,48 |
| 543 | 184,16 |
| 473 | 211,42 |

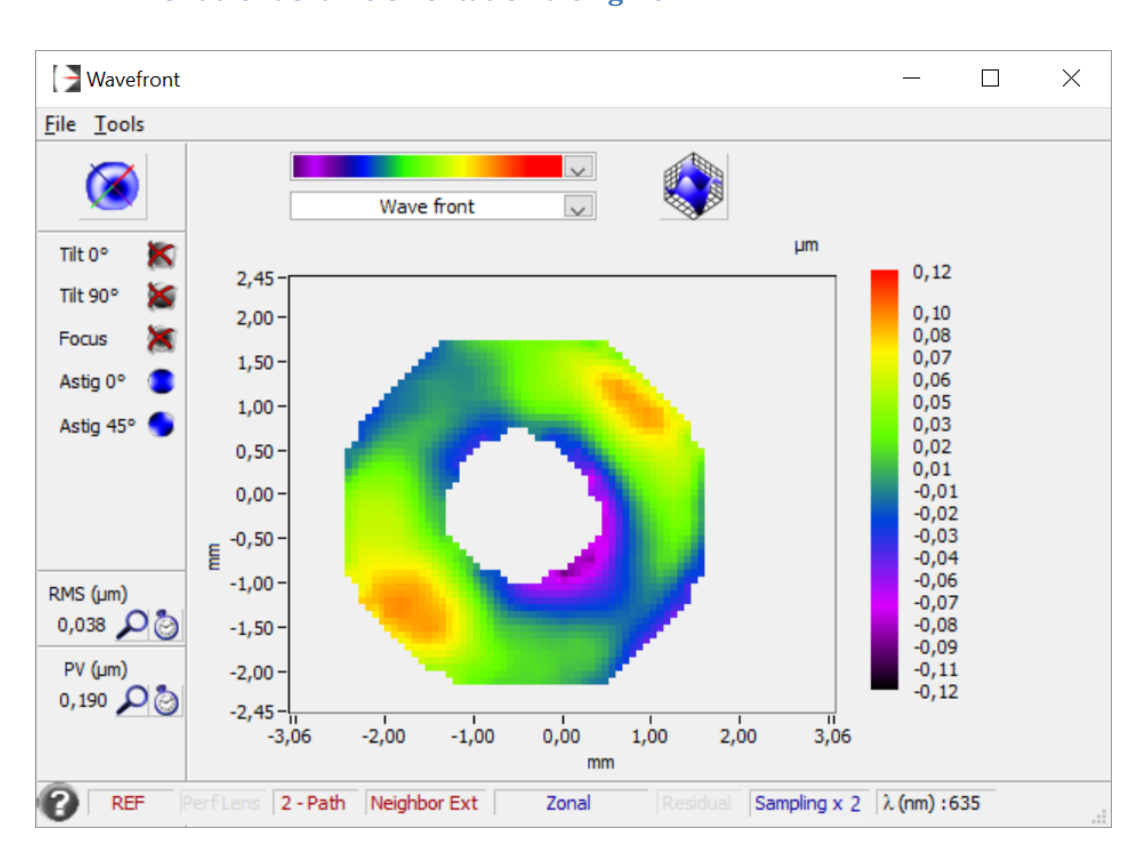
Objectif des mesures de front d'onde : Ces mesures correspondent à la mesure de la forme globale du front d'onde issu du système. Il s'agît de la mesure la plus importante en termes de résolution optique. Cette mesure donne les valeurs d'erreur sur le front d'onde Peak To Valley (PTV) et moyennée (RMS). Un instrument est considéré comme étant limité par la diffraction pour la valeur d'erreur PTV de 135nm. Néanmoins il faut prendre en compte le diamètre et l'ouverture relative de l'instrument : plus l'instrument est grand et ouvert et plus il est difficile d'avoir une erreur faible.

Ces mesures peuvent être effectuées sur l'axe et dans le champ et à différentes longueurs d'onde. La mesure du front d'onde permet de déduire la <u>PSF</u> (tâche de diffraction), la <u>fonction de transfert</u> <u>de modulation</u> (contraste en fonction des fréquences spatiales) et le <u>ratio de Strehl</u>.

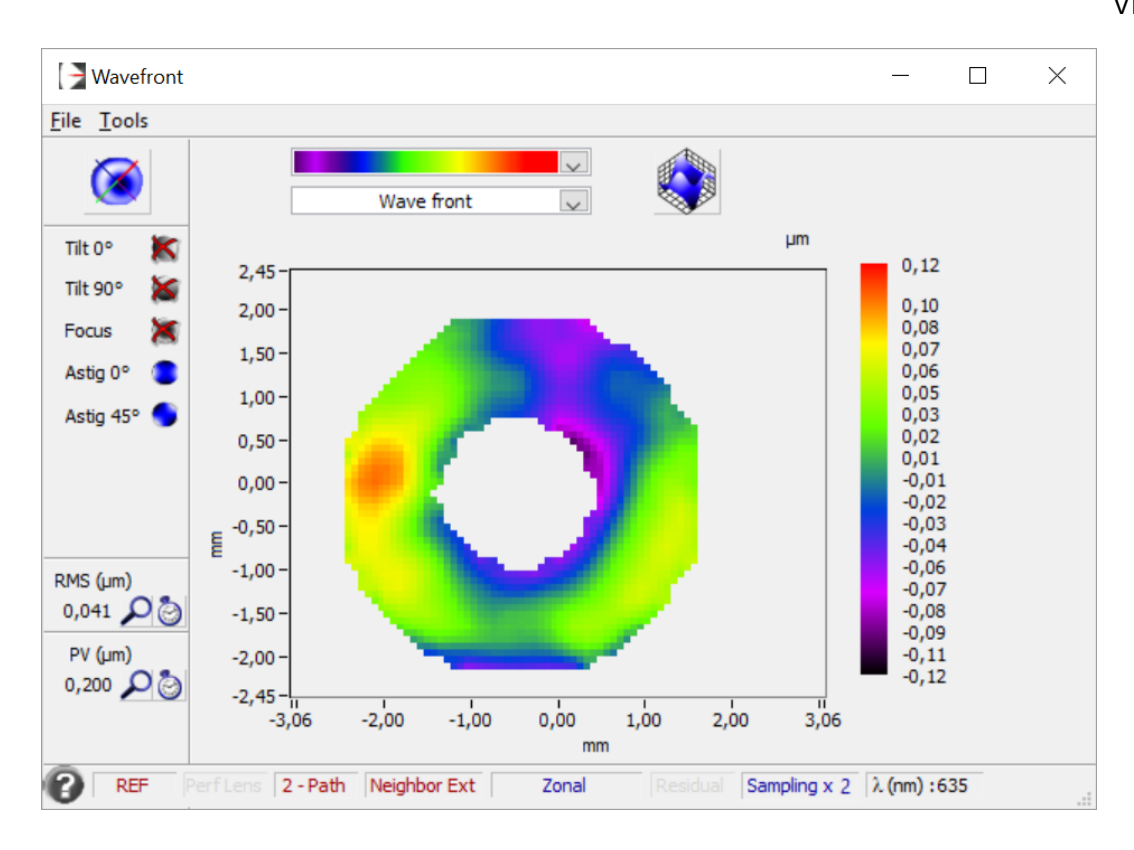
2 Mesures sur l'axe après alignement du secondaire

2.1 Mesure sur l'axe à 635nm

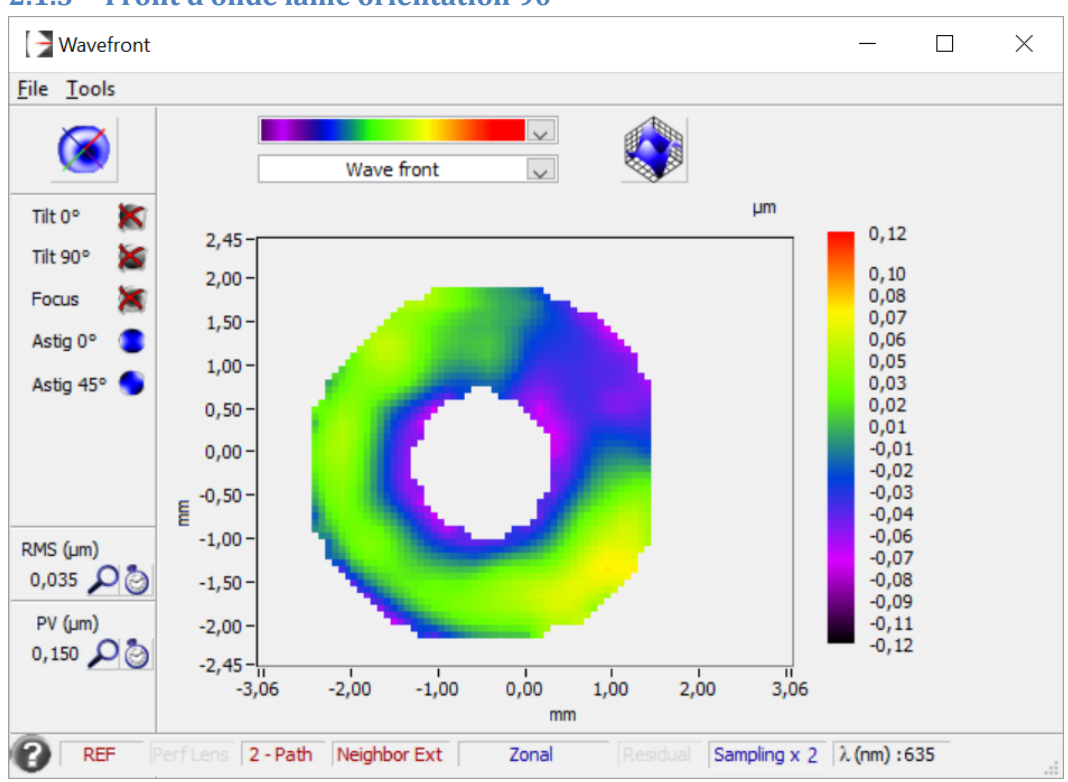
2.1.1 Front d'onde lame orientation d'origine



2.1.2 Front d'onde lame orientation 45°

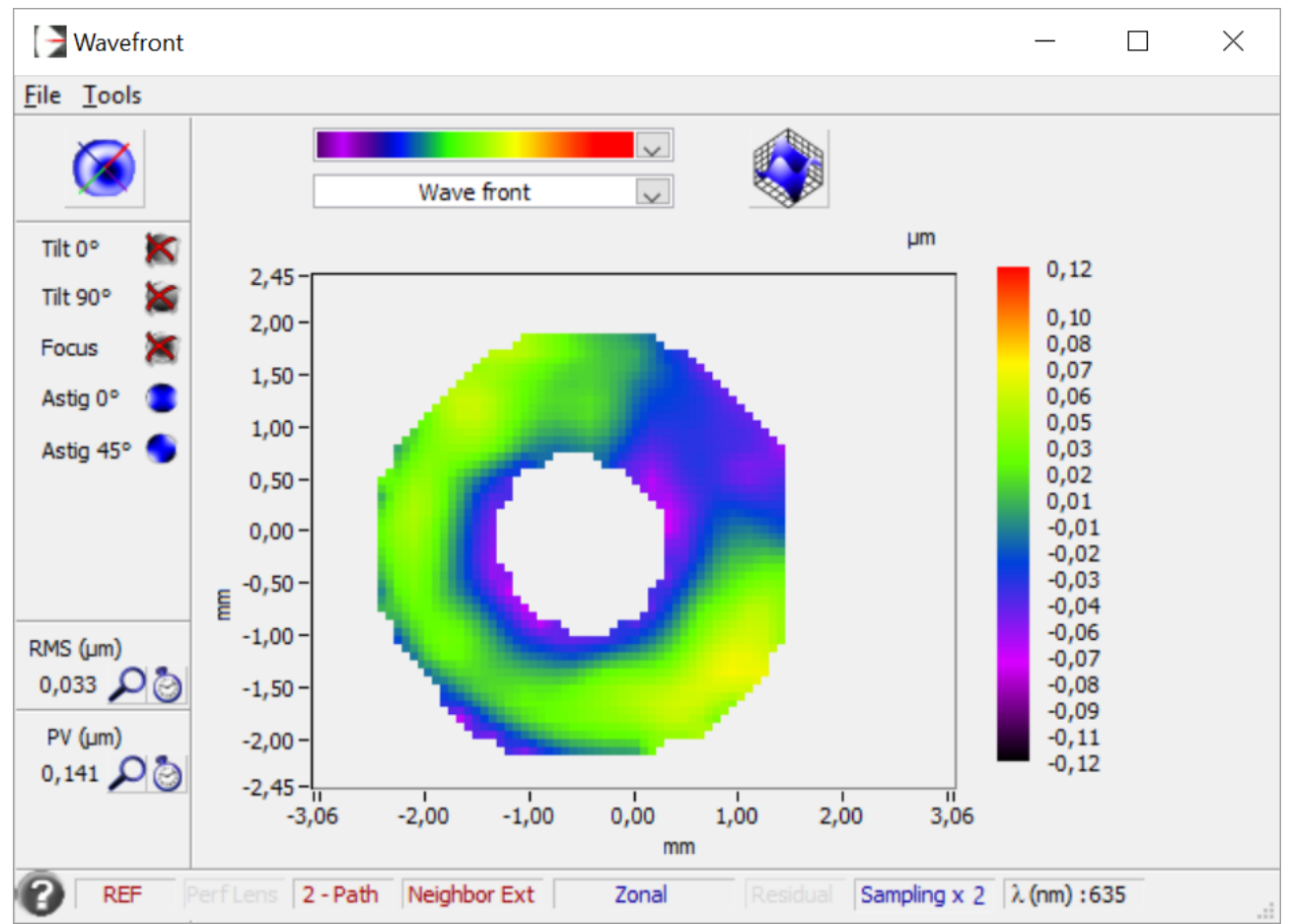


2.1.3 Front d'onde lame orientation 90°



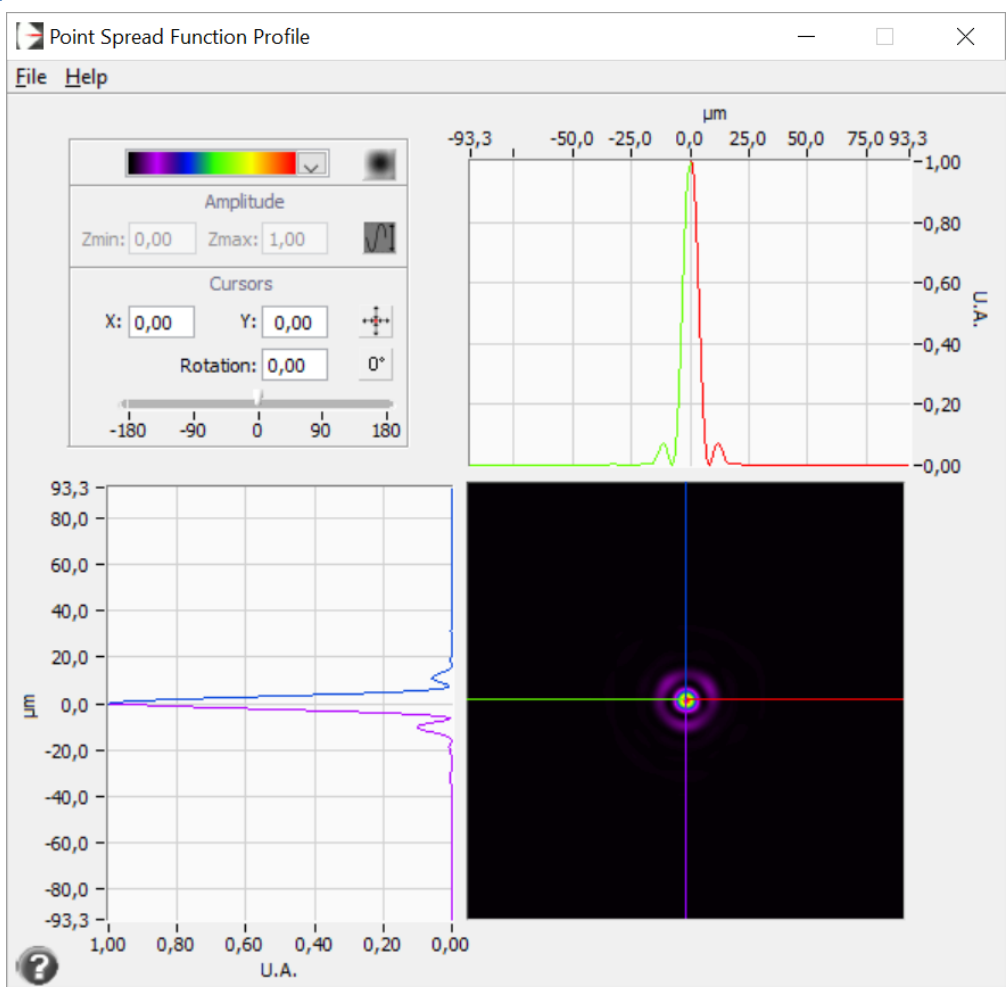
Visibilité : Privée

2.1.4 Front d'onde

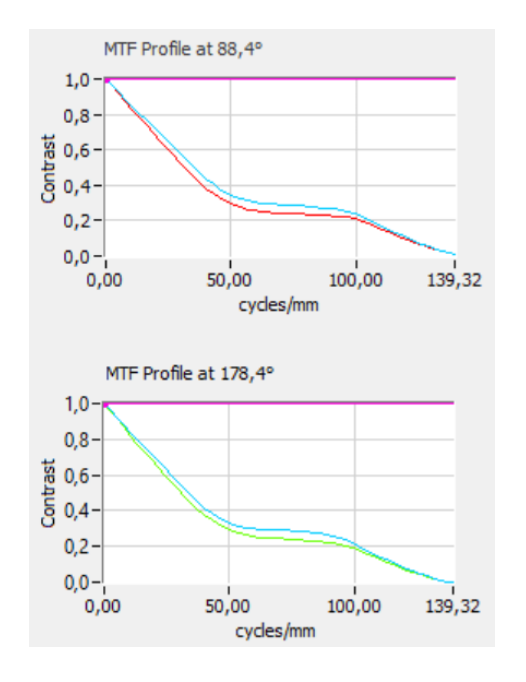


Ratio de Strehl 0,898

2.1.5 **PSF**

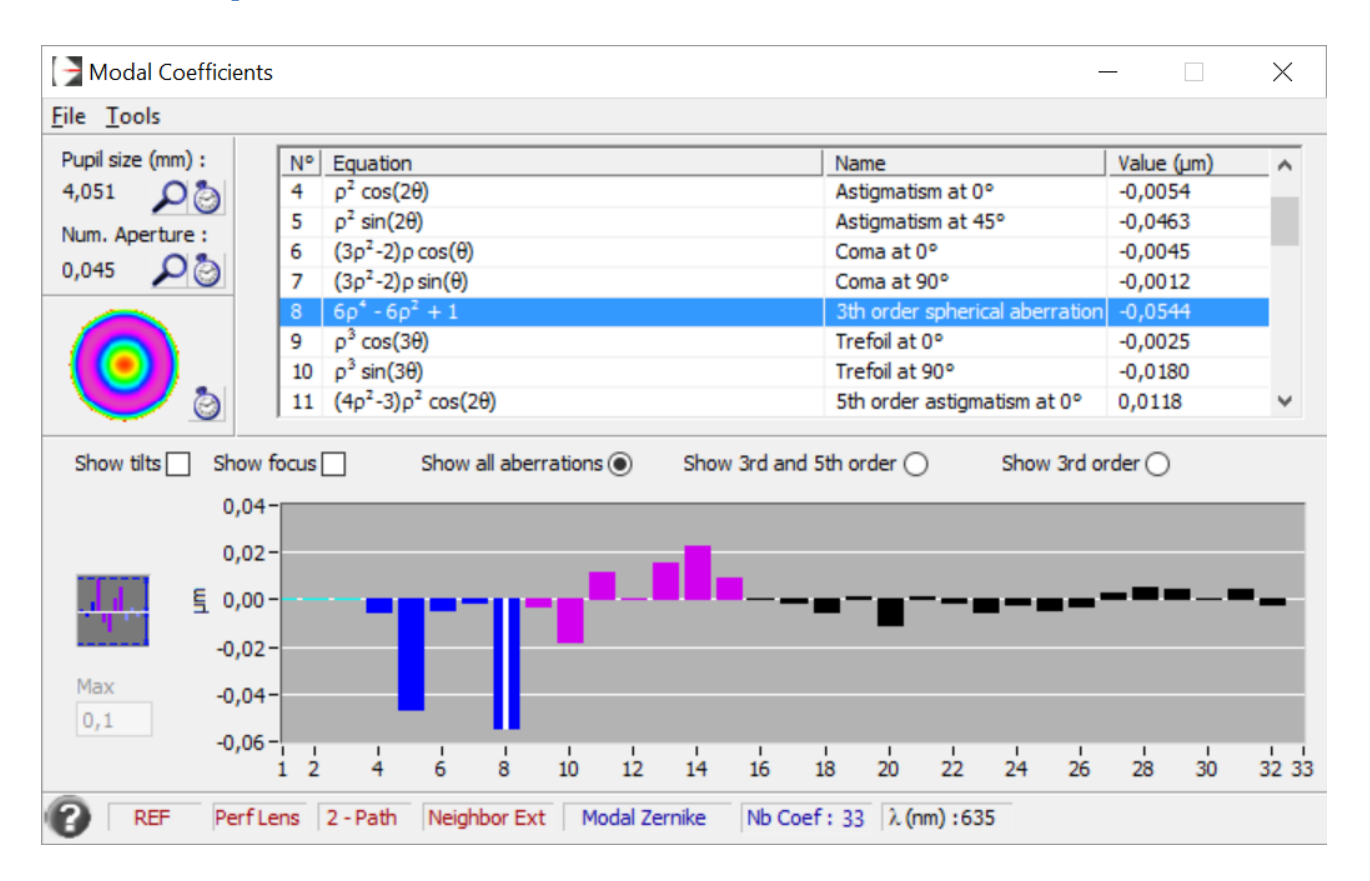


2.1.6 MTF



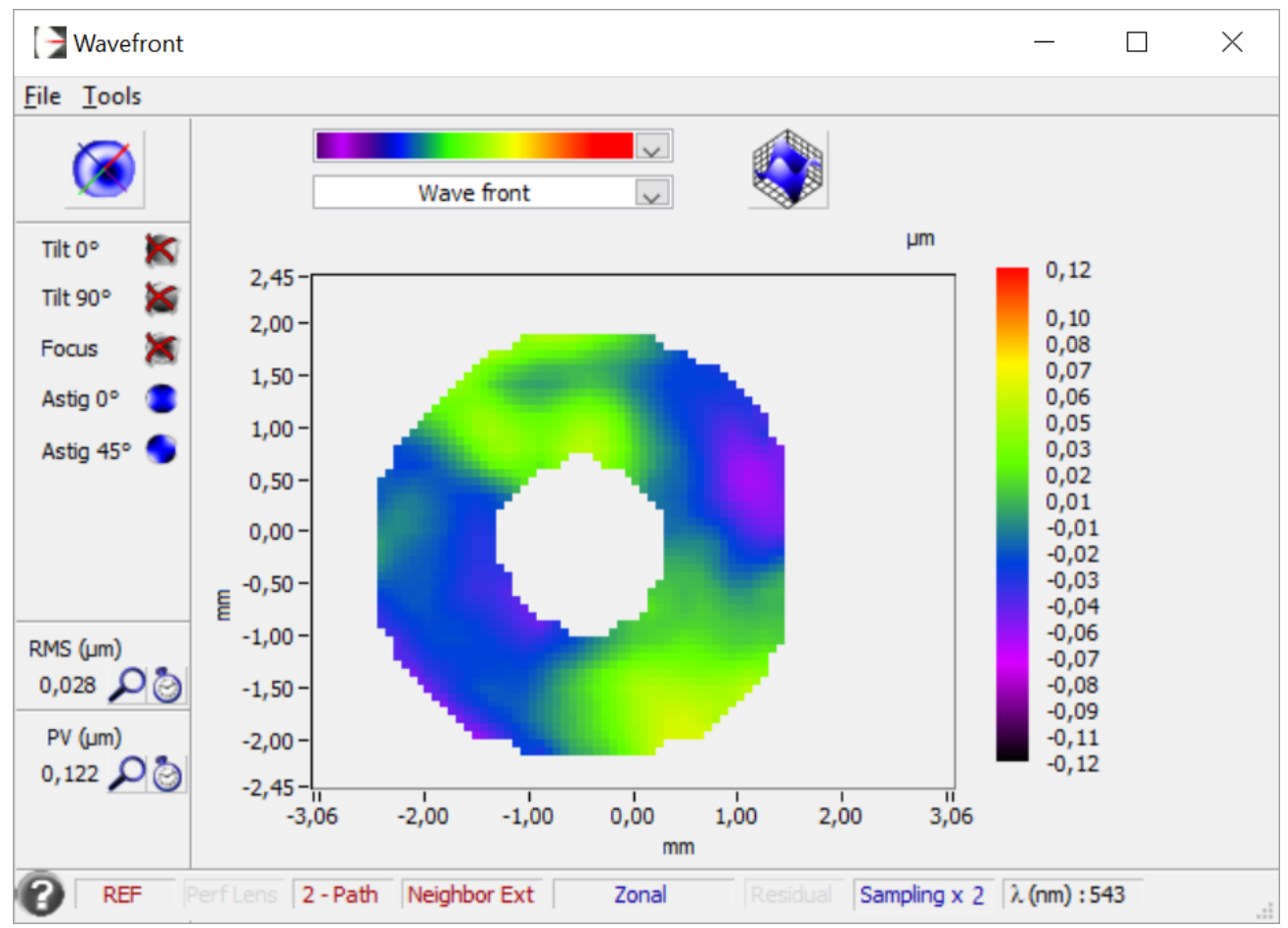
Visibilité: Privée

2.1.7 Décomposition de Zernike



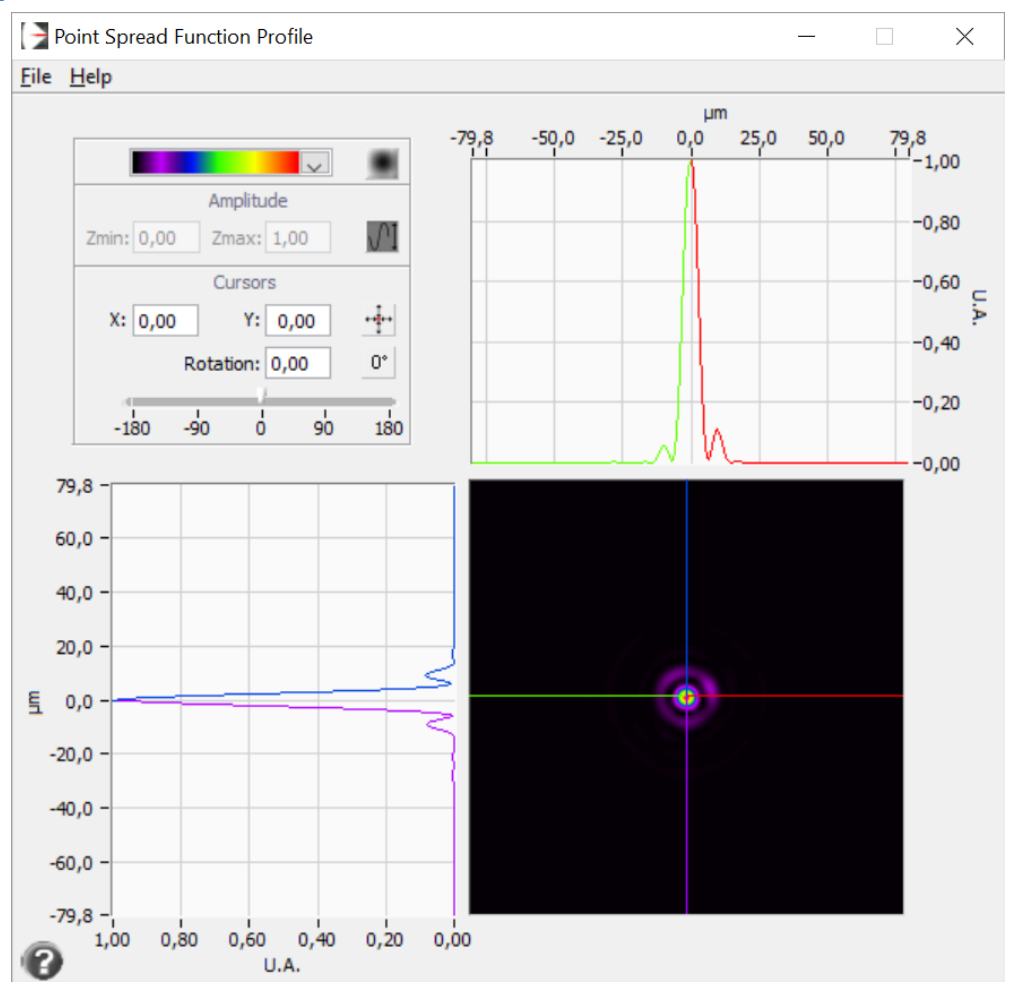
2.2 Mesure sur l'axe à 543nm

2.2.1 Front d'onde

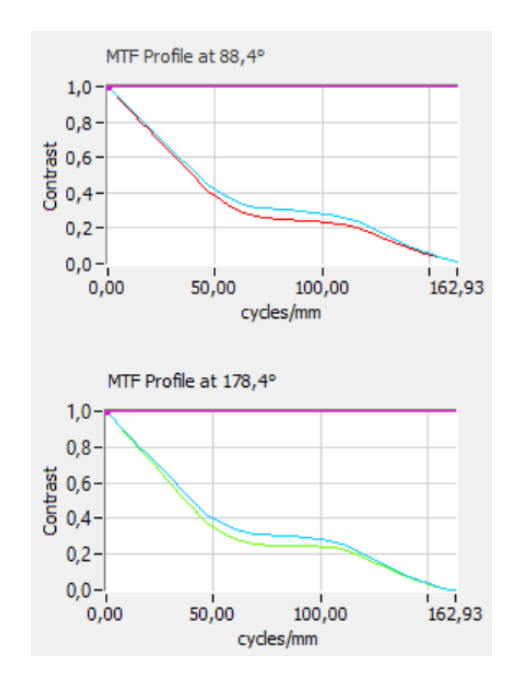


Ratio de Strehl 0,902

2.2.2 **PSF**

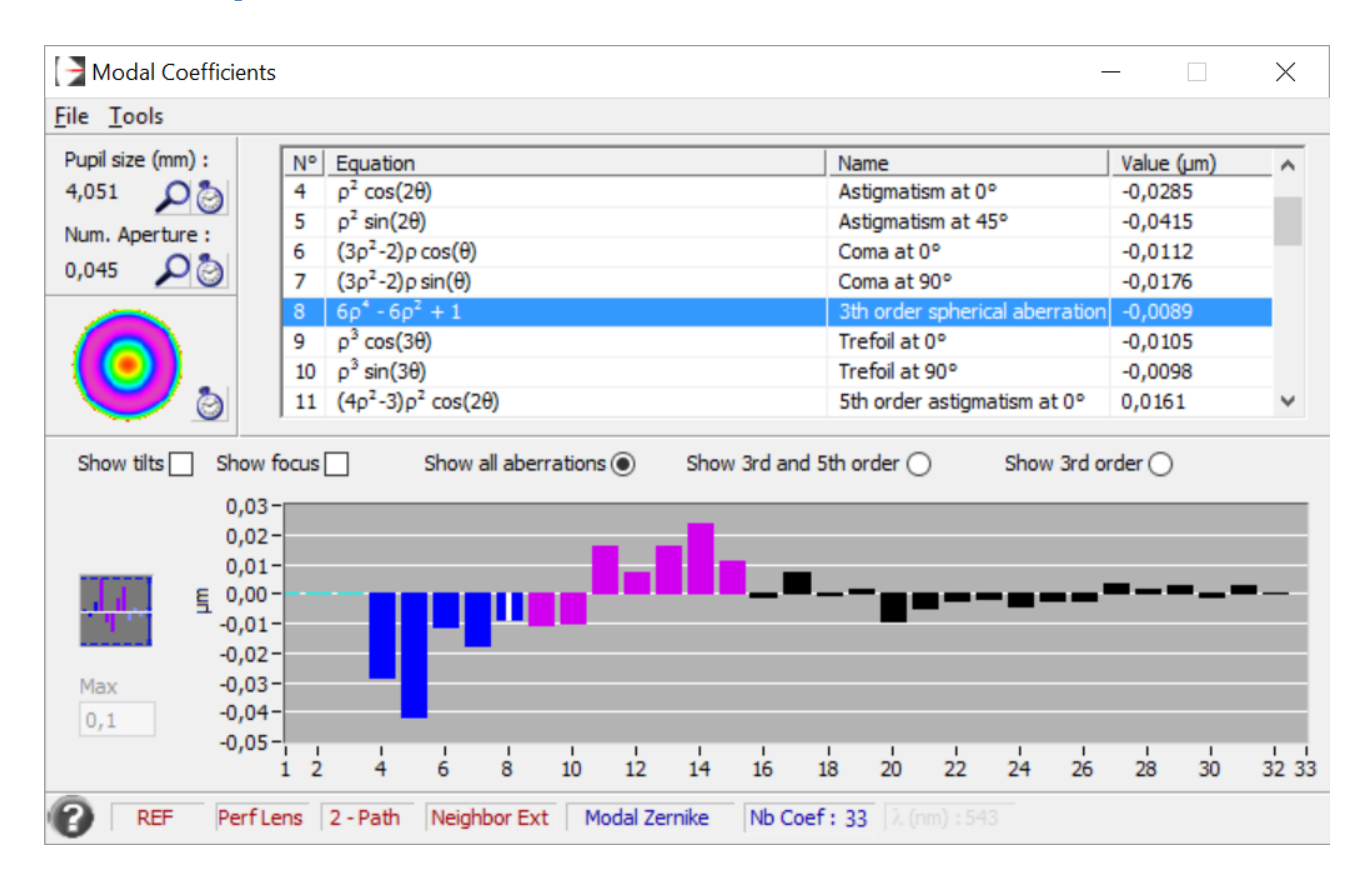


2.2.3 MTF



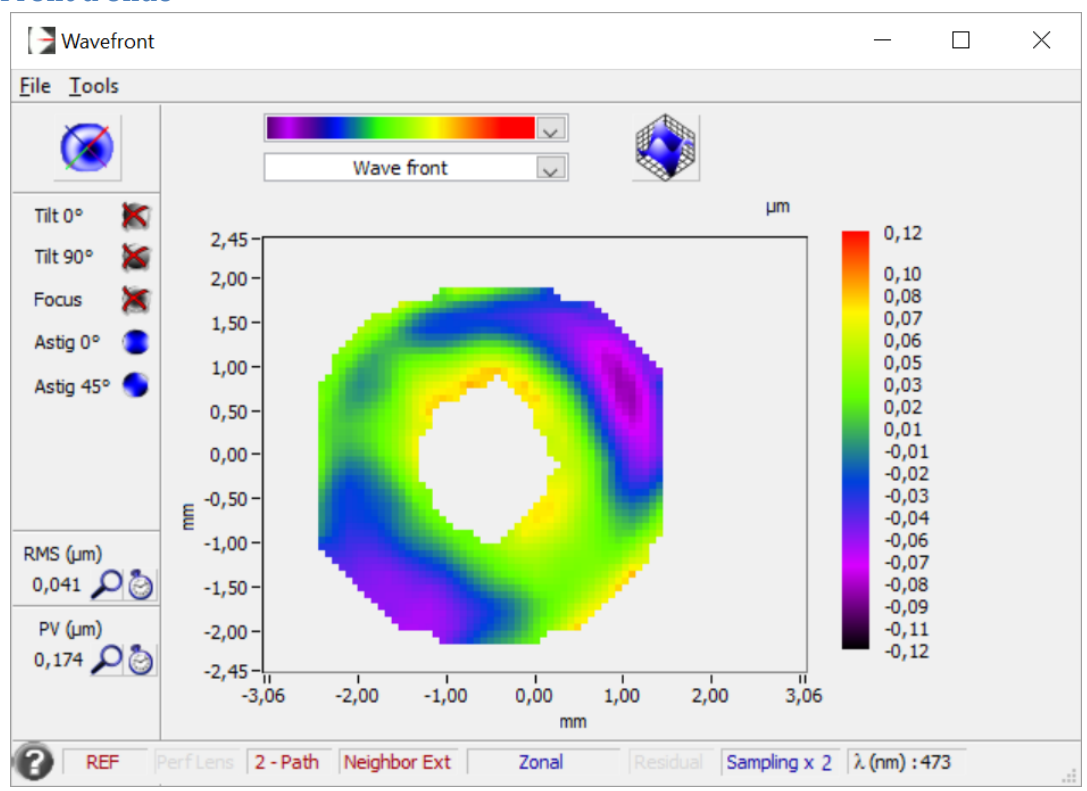
Visibilité : Privée

2.2.4 Décomposition de Zernike



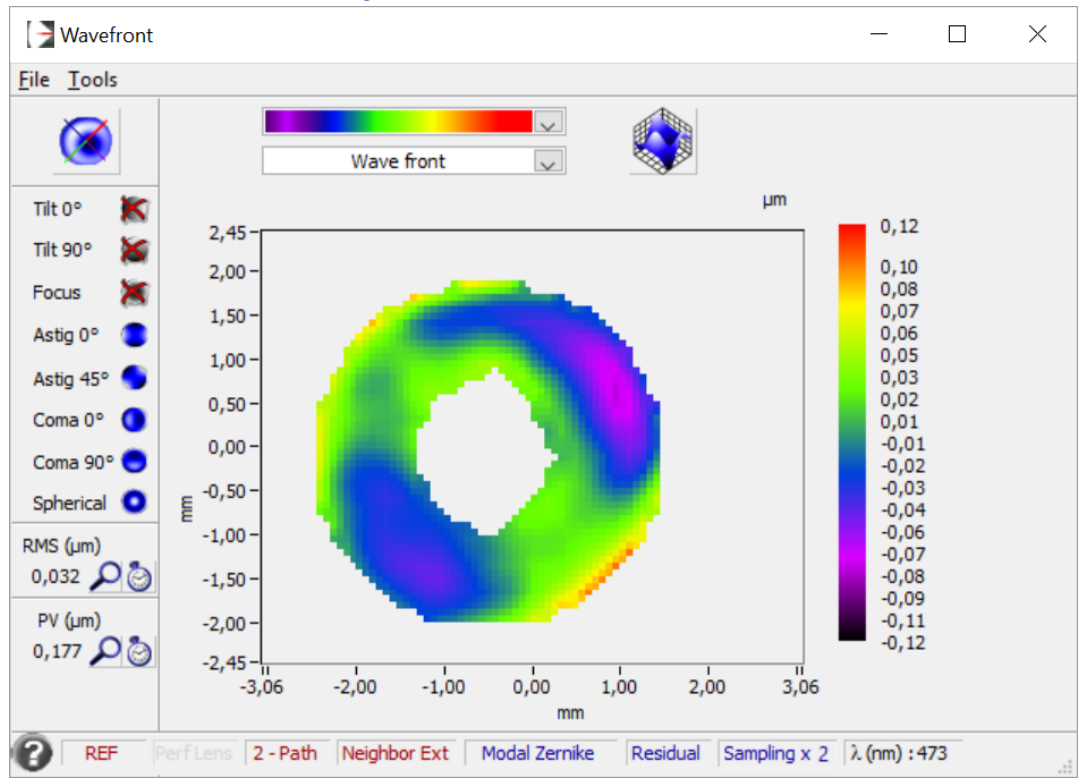
2.3 Mesure sur l'axe à 473nm

2.3.1 Front d'onde



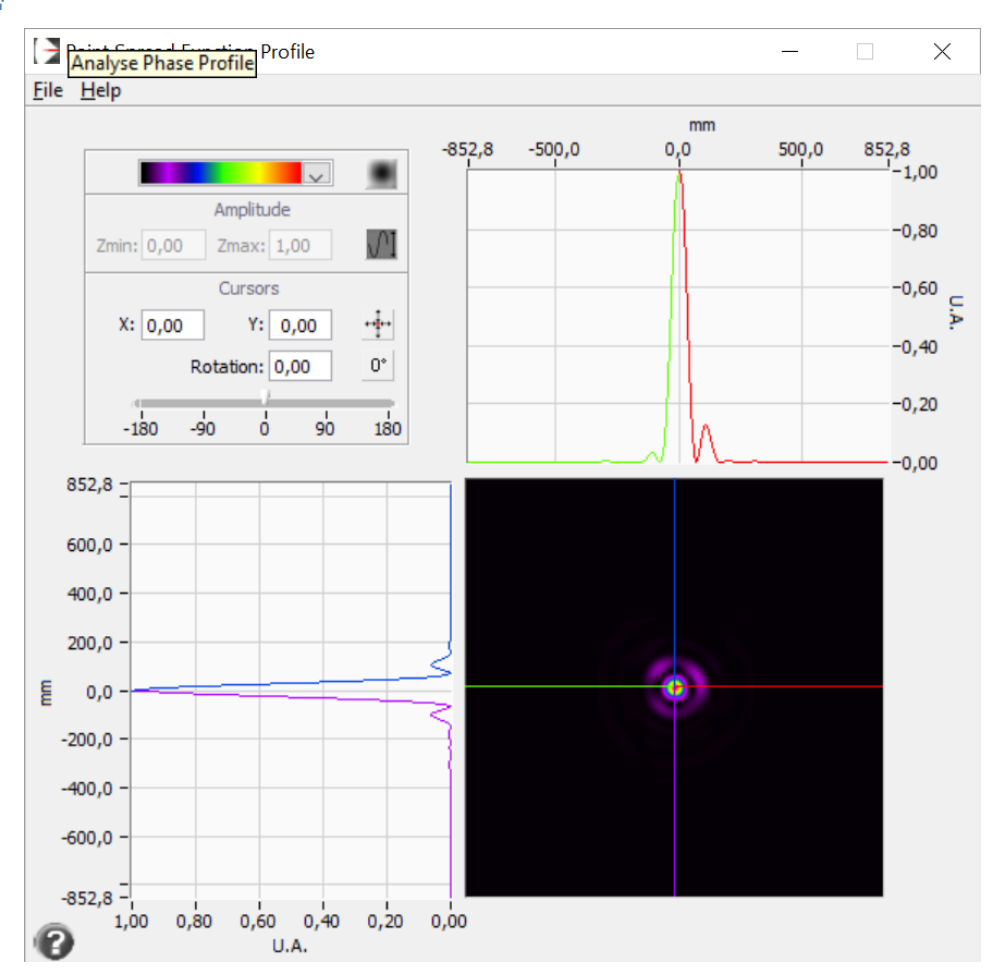
Ratio de Strehl 0,741

2.3.2 Front d'onde au meilleur foyer

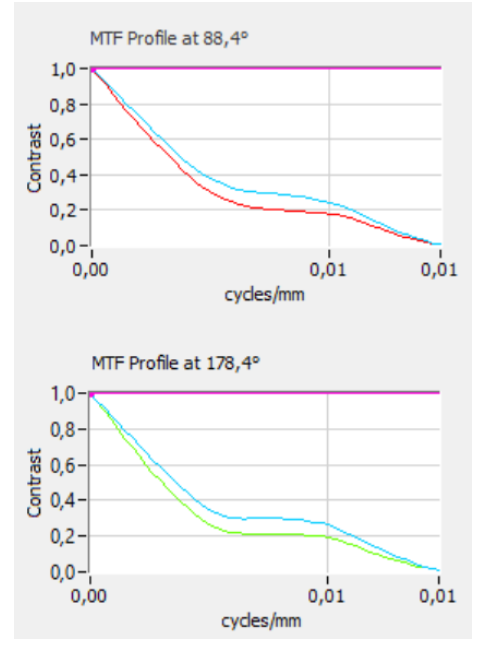


Ratio de Strehl 0,829

2.3.3 PSF

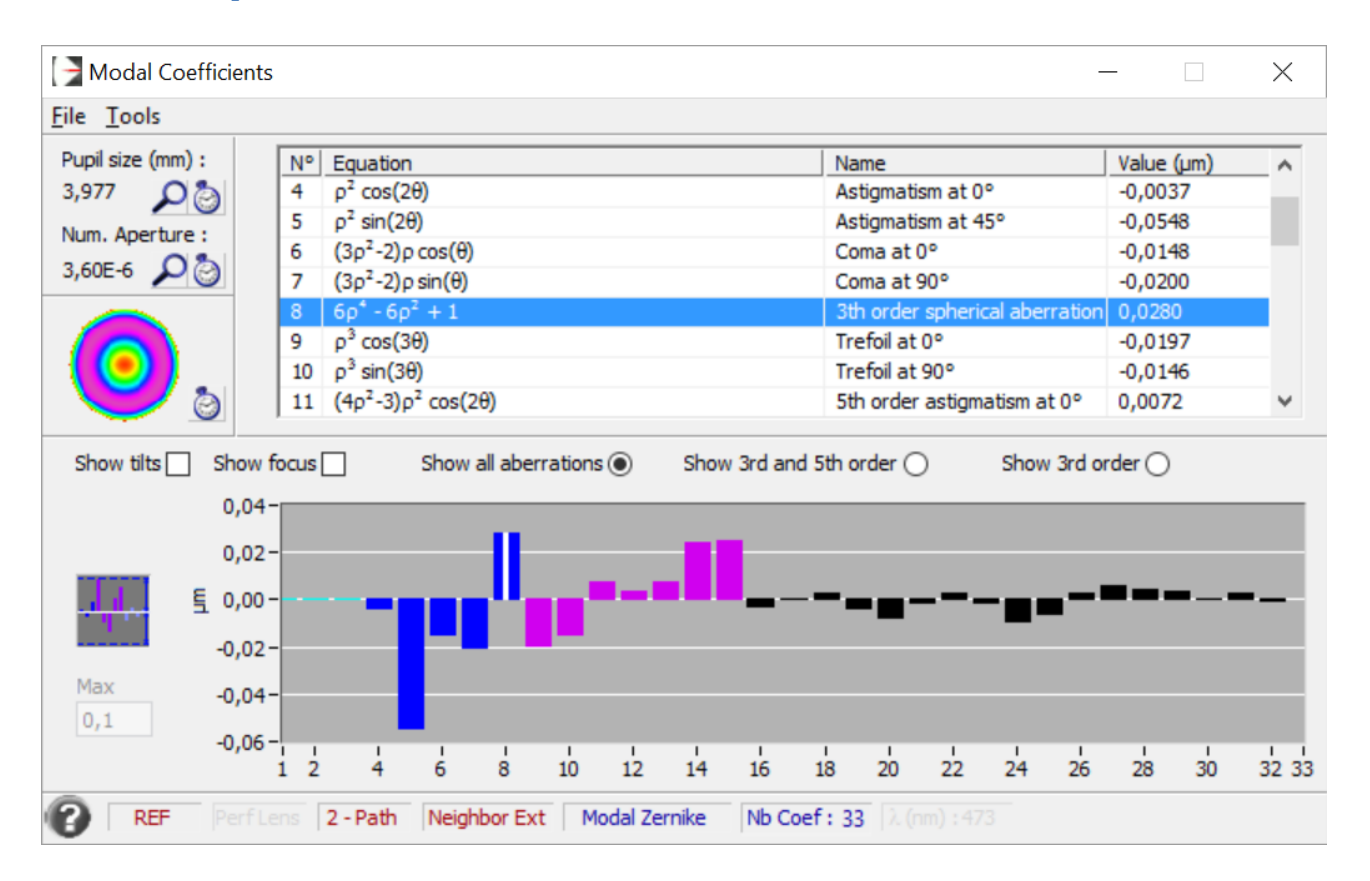


2.3.4 MTF



Visibilité : Privée

2.3.5 Décomposition de Zernike



2.4 Chromatisme

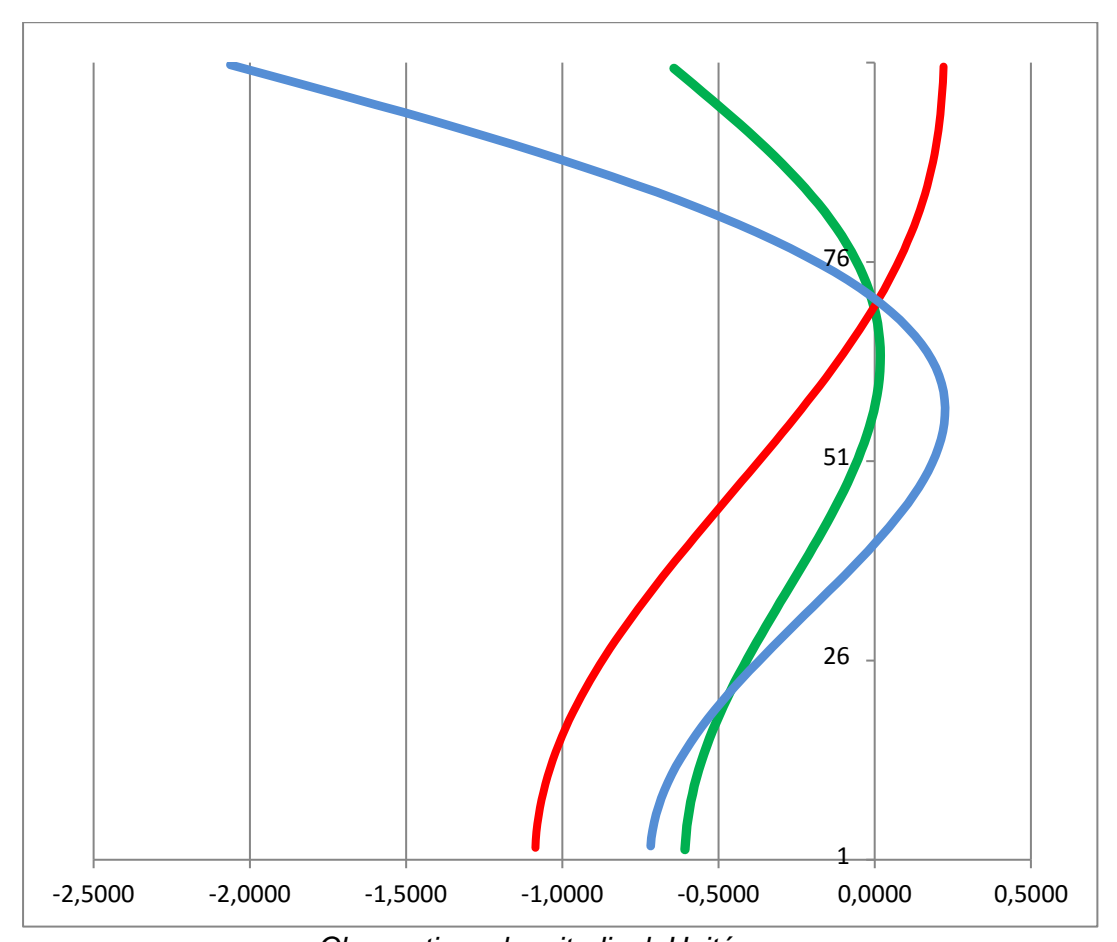
Objectif: La mesure du chromatisme concerne tous les systèmes optiques comportant des dioptres. Un élément transmissif a un comportement variable en fonction de la longueur d'onde. Les deux mesures <u>importantes sont le chromatisme</u> (décalage du foyer en fonction de la longueur d'onde) et le sphérochromatisme. Ces mesures permettent aussi de déterminer pour quelle longueur d'onde le système est optimisé, idéalement entre 500 et 550nm (vert).

2.4.1 Décalage des meilleurs foci sur l'axe

| En µm | |
|--------------|-----|
| Rouge 635 nm | 0 |
| Vert 543 nm | +70 |
| Bleu 473 nm | +80 |

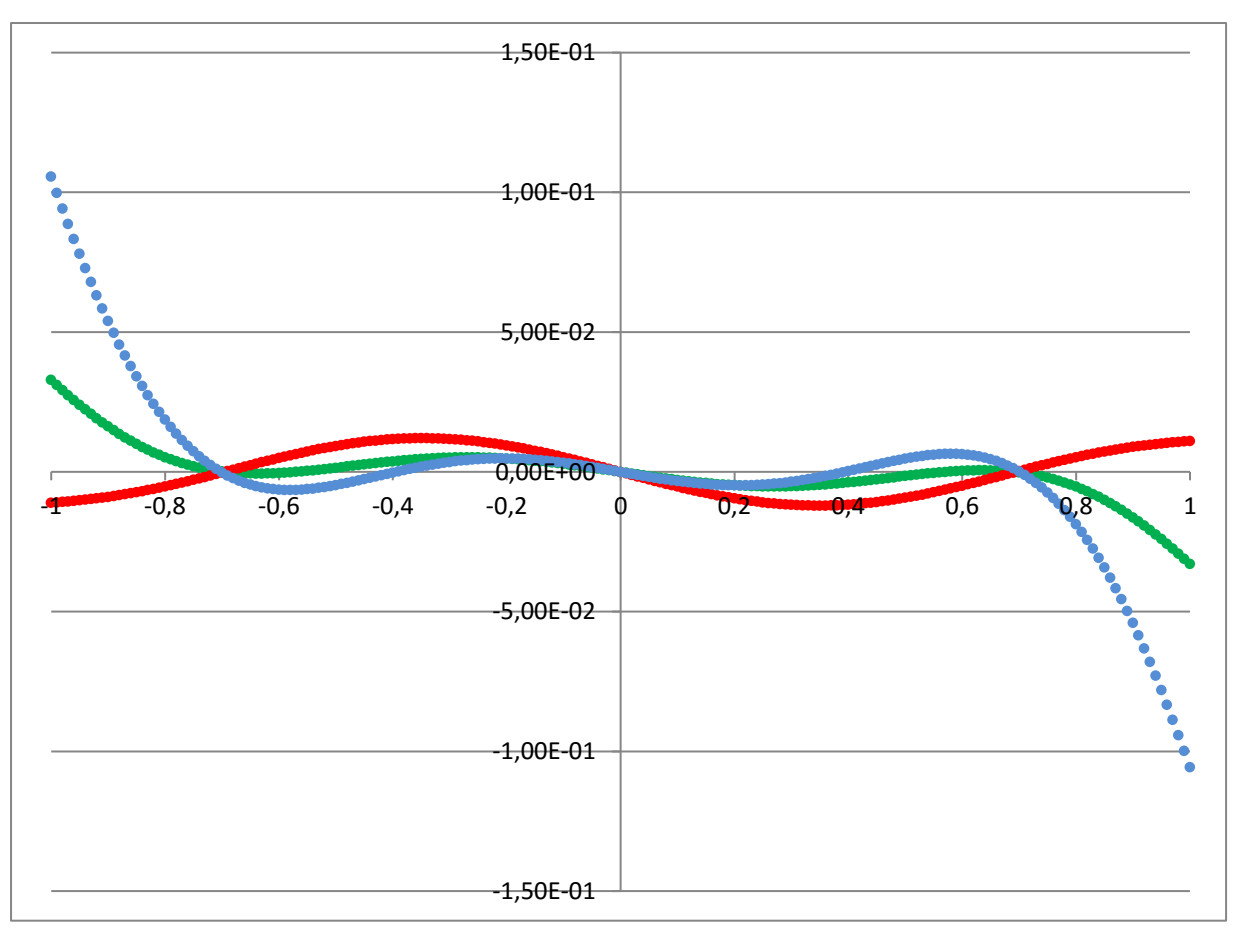
2.4.2 Sphérochromatisme à F10

Base de calcul : aberration sphérique 3eme, 5eme et 7eme ordre.



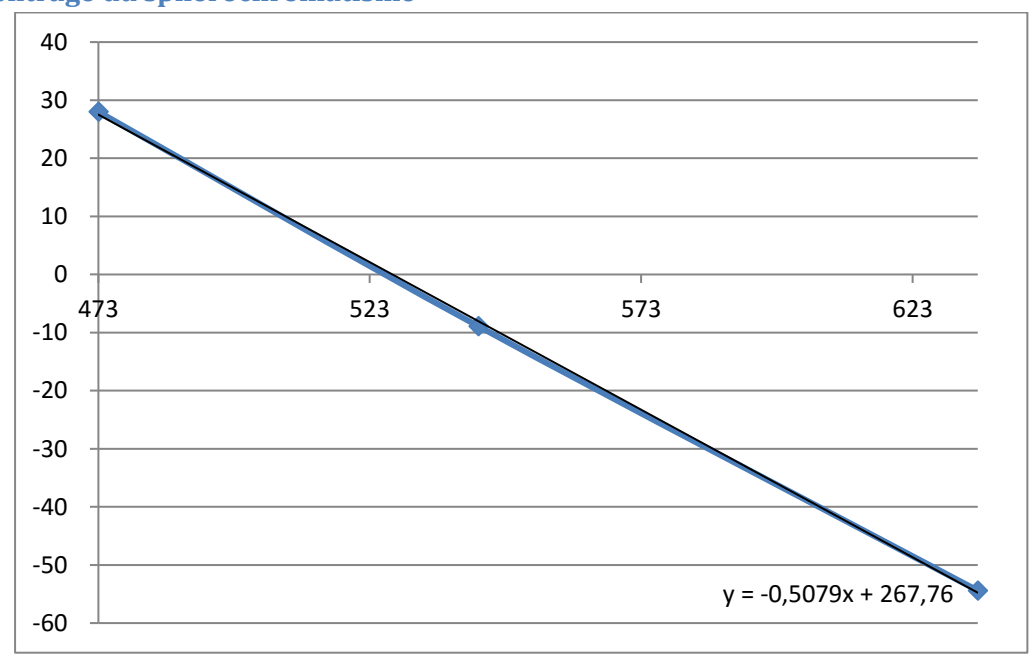
Chromatisme longitudinal, Unités mm

Visibilité : Privée



Chromatisme transverse (fan plot), Unités mm

2.4.3 Centrage du sphérochromatisme



Aberration sphérique de 3eme ordre en fonction de la longueur d'onde

Calage à 525nm (vert)

Visibilité : Privée

Fin du document.